doi:10.3969/j.issn.1673-9833.2023.06.010

东方百合两个 SERKs 基因的克隆及表达分析

郑梓唯^{1,2}, 荣朵艳^{1,2}, 廖晓珊^{2,3}, 张邦跃^{1,2}

(1. 湖南工业大学 生命科学与化学学院, 湖南 株洲 412007; 2. 百合种质资源创新与深加工湖南省工程研究中心, 湖南 株洲 412007; 3. 株洲市农业科学研究所, 湖南 株洲 412007)

摘 要: 体细胞胚发生类受体激酶(somatic embryo genesis receptor-like kinases,SERKs)能够感受并传递细胞外信号,在植物的生长发育等生理过程中起着重要作用。基于东方百合 "西伯利亚"的转录组数据,克隆了两个百合 SERK 同源基因,LoSERK1 和 LoSERK2。LoSERK1 的开放阅读框全长为 1 875 bp,编码 624 个氨基酸,包含 53 个潜在磷酸化位点。LoSERK2 的开放阅读框全长为 1 887 bp,编码 628 个氨基酸,包含 55 个潜在磷酸化位点。LoSERK3 与拟南芥、水稻、茶树等植物 SERK3 氨基酸序列相似性均超过 90%。系统进化树分析结果表明,百合的 LoSERK3 与拟南芥的 AtSERK1、AtSERK2 及水稻的两个 OsSERK3 分在同一组。实时定量 PCR 分析表明,LoSERK1 在花瓣及花药中的相对表达量都较高,而 LoSERK2 在开放的花瓣中相对表达含量较高,推测 LoSERK3 参与了花粉发育、花器官脱落功能的调控。

关键词: 百合; 体细胞胚发生类受体激酶; 生物信息学; 表达分析

中图分类号: S682

文献标志码: A

文章编号: 1673-9833(2023)06-0074-09

引文格式: 郑梓唯,荣朵艳,廖晓珊,等.东方百合两个 SERKs 基因的克隆及表达分析 [J]. 湖南工业大学学报,2023,37(6):74-82.

Cloning and Expression Analysis of Two SERKs Genes in Oriental Lily

ZHENG Ziwei^{1,2}, RONG Duoyan^{1,2}, LIAO Xiaoshan^{2,3}, ZHANG Bangyue^{1,2}

College of Life Science and Chemistry, Hunan University of Technology, Zhuzhou Hunan 412007, China;
 Lily Germplasm Resources Innovation and Deep Processing Hunan Engineering Research Center, Zhuzhou Hunan 412007, China;
 Zhuzhou Institute of Agricultural Sciences, Zhuzhou Hunan 412007, China)

Abstract: The ability of sensing and transmitting extracellular signals exhibited by somatic embryo genesis receptor-like kinases (SERKs) plays an important role in plant physiological processes such as growth and development. Base on the transcriptome data of *Lilium* oriental hybrids 'Siberia', two SERK genes of *Lilium*, *LoSERK*1 and *LoSERK*2, have thus been coloned. The open reading frame of *LoSERK*1 has a total length of 1875 bp, encoding 624 amino acids and containing 53 potential phosphorylation sites, while the open reading frame of *LoSERK*2 has a total length of 1 887 bp, encoding 628 amino acids and containing 55 potential phosphorylation sites. The amino acid sequence similarity exceeds 90% between *LoSERKs* and plant SERKs such as *Arabidopsis thaliana*, *Oryza sativa and Camellia sinensis*. The phylogenetic tree analysis shows that the *LoSERKs* of *Lilium* are in the same group as the

收稿日期: 2022-08-16

基金项目: 国家自然科学基金资助项目(32100576); 湖南省自然科学基金资助项目(2021JJ50034); 湖南省教育厅青年基金资助项目(20C0632); 株洲市科技人才托举工程基金资助项目(2019TJ-06)

作者简介: 郑梓唯(1997-) , 男,湖南湘阴人,湖南工业大学硕士生,主要研究方向为植物分子育种, E-mail: zheng1875354432@163.com

通信作者: 张邦跃(1985-),男,广东丰顺人,湖南工业大学讲师,博士,硕士生导师,主要研究方向为观赏植物育种,E-mail: cauzhang@163.com

AtSERK1 and AtSERK2 of Arabidopsis thaliana, and two OsSERKs of Camellia sinensis. A real time quantitative PCR analysis shows that LoSERK1 is characterzied with a high relative expression level in both petals and anthers, while the relative expression level of LoSERK2 is high in open petals. It is speculated that LoSERKs are involved in the regulation of pollen development and floral organ abscission.

Keywords: Lilium; somatic embryo genesis receptor-like kinases; bioinformatics; expression analysis

1 研究背景

体细胞胚发生类受体激酶(somatic embryo genesis receptor-like kinases, SERKs)属于富含亮氨酸重复序列受体激酶(leucine-rich repeat sequence receptor-like kinases, LRR-RLKs)家族成员门,其蛋白结构包含一个由 5 个富含亮氨酸重复序列(LRR)组成的细胞外结构域、一个跨膜结构域和一个细胞内激酶结构域^[2]。SERK 基因最初是从胡萝卜细胞培养物中分离出来的,并在单细胞胚胎形成中起重要作用^[3]。后来,陆续在其他的植物中筛选到 SERK 基因家族,例如,拟南芥^[4]、水稻^[5]、玉米^[6]、大麦^[7]、小麦^[8]、苹果^[9]等,表明 SERK 蛋白广泛地分布在植物中,并在植物的生长、发育及防御反应中等方面发挥重要的作用。

目前, SERK 功能的研究主要是利用模式植物 拟南芥来开展的。拟南芥中有5个SERKs家族成 员,从 AtSERK1~AtSERK5,其中在 Col-0 背景下 AtSERK1~AtSERK4 具有激酶活性并参与了多种生命 活动,而AtSERK5在Ler背景下才具有激酶活性[10]。 研究表明, SERK 作为共受体(Coreceptor), 与不 同的受体蛋白一起感受细胞外不同的配体分子,形 成"配体-受体-共受体"的模式,进而激活相应 的细胞信号转导、调控生命活动[11]。分泌肽 TPD1 (tapetum determinant 1) 与膜受体 EMS1 (excess microsporocytes 1) 胞外结构域结合后, EMS1 招募 AtSERK1 或 AtSERK2 形成异源二聚体, 并调控绒 毡层细胞发育[12],进而调控雄配子体的形成,而拟 南芥 atserk1、atserk2 双突变表现为雄性不育[13]。 AtSERK3, 也称为BAK1 (BRI1-associated receptor kinase 1),能够在植物激素 BR (brassinosteroid, 油菜素类固醇)与膜受体 BRI1 (brassinosteroid insensitive 1)结合后快速地被招募形成"BR-BRI1-SERK3"复合物,进而调控BR介导的植物生长发 育[14]。除了AtSERK3外,AtSERK1和AtSERK4也 在 BR 信号中发挥功能冗余的作用,拟南芥 atserk1、 atserk3、atserk4 三突变体对 BR 处理完全不敏感 [15]。

AtSERK3 与 AtSERK4 一起,还介导了植物的免疫反 应 [16]。AtSERK3 和 AtSERK4 能够分别与膜受体 FLS2 (flagellin-sensing 2), EFR (elongation factor-Tu receptor)或PEPR1/2(PEP1 receptor 1/2)形成异源 二聚体,并分别感受病原性蛋白 flg22(一个 22 个氨 基酸残基多肽)、elf18(一个18个氨基酸残基多肽) 及植物内源多肽 Pep1 (peptide 1) 信号分子, 进而起 始植物的免疫反应 [17]。拟南芥 atserk3、atserk4 双突 变体持续激活水杨酸依赖的防御途径,导致活性氧的 持续生成及幼苗致死^[18]。拟南芥 AtSERK1~AtSERK4 冗余地与受体 HAE (HAESA) 或 HLS2 (HAE-like 2)结合,并共同介导分泌多肽 IDA (inflorescence deficient in abscission)调控的花器官脱落, atserk1、 atserk2、atserk3 或 atserk1、atserk3、atserk4 三 突 变体表现出花器官不脱落的表型[19]。此外,拟南芥 SERKs 还参与了调控其他生长发育进程,比如气孔 模式 (stomatal patterning) 形成 [20-21]、根的生长 [22]、 胁迫响应[11]等。

在其他植物中,也证实了 SERKs 在介导植物生长发育及免疫反应过程中的功能保守性。水稻(Oryza sativa) OsSERK2 能够与免疫受体 XA21、XA3 和 OsFLS2 互作,参与对水稻黄单胞菌(Xanthomonas oryzae pv. oryzae)抗性的建立 [23-25]。而 OsSERK1 和 OsSERK2 都能与受体 OsBRI1 互作,并介导 BR 信号响应 [24-25]。本生烟草(Nicotiana benthamiana) NbSERK3A 和 NbSERK3B 与 NbFLS2 互作,并感受病原体分子 INF1,进而激活细胞抵御马铃薯晚疫病毒(Phytophthora infestans)的侵染 [26-27]。此外,番茄、棉花、土豆等植物 SERKs 参与免疫响应、配子体发育、BR 响应的功能也被发现 [28-29]。

百合是世界上最受欢迎的花卉之一,其花香浓郁、花朵较大、花色多样^[30]。百合的成熟花药中会释放出大量的油性花粉粒,这会污染花瓣和衣物,降低其商品价值,因此在销售前需要采用人工去雄方法去掉未成熟雄蕊。在规模化生产中,百合容易受到真菌、细菌及病毒等的侵染,严重影响产量及品质,降低其经济价值。因此,开展百合花粉发育

及抗病分子机制的研究,以便通过分子育种生产无 花粉和抗病性强的百合,在生产上具有重要意义 [29]。 SERKs 已经被证实参与了植物包括雄配子发育、免 疫响应等在内的多种生命活动,目前在百合中并没有 相关的报道。本研究从东方百合"西伯利亚"中克隆 到了 2 个 SERK 同源基因,分别命名为 LoSERK1 和 LoSERK2。利用生物信息学方法对 LoSERKs 进行了分析,同时采用实时定量 PCR 技术对 SERKs 在不同 组织中的表达进行了分析,实验结果可为进一步了解 百合中 SERKs 的功能奠定基础。

2 材料与方法

2.1 实验材料

实验材料为东方百合"西伯利亚"种,盆栽于湖南工业大学百合工程研究中心。植物多糖多酚总RNA提取试剂盒购自北京艾德莱生物科技有限公司,PrimeSTAR GXL DNA聚合酶购自宝日医生物技术(北京)有限公司;PCR产物磁珠回收试剂盒、无缝连接试剂盒和M-MuLV逆转录酶购自生工生物工程(上海)股份有限公司。实时荧光定量PCR购买自上海罗氏生物公司。

2.2 总 RNA 提取

利用 RNA 试剂盒提取"西伯利亚"总 RNA, 然后进行电泳检测(1% 琼脂糖),以总 RNA 为模板,利用 Oligo dT18 引物和 M-MuLV 逆转录酶合成第一链 cDNA,于 -20 ℃下保存备用。

2.3 LoSERKs 的基因克隆

根据百合转录组测序结果,课题组发现了2个 SERK 同源基因序列,这2个基因包含有完整的开 放阅读框(open reading frame, ORF), 长度分别 是 1 875 bp 和 1 887 bp, 分别命名为 LoSERK1 和 LoSERK2。利用 Primer Premier 5.0 设计这 2 个基因 的特异引物 LoSERK1-LP/LoSERK1-RP 和 LoSERK2-LP/LoSERK2-RP(见表1),用于扩增LoSERK1和 LoSERK2基因cDNA序列。以cDNA第一链为模板, 利用 PrimeSTAR GXL DNA 聚合酶扩增 LoSERK1 和 LoSERK2 基因 cDNA 序列。PCR 反应体系为 25 mmol/L dNTP Mixture 2.0 µL, GXL buffer 5.0 µL, GXL DNA Polymerase 0.5 μ L, Template 0.3 μ L, 向引物 0.7 μL, 反向引物 0.7 μL, ddH₂O 补足至 25.0 μL。扩增程序: 95 ℃下扩增预变性 2 min; 98 ℃下 扩增 10 s, 60 ℃下扩增 15 s, 68 ℃下扩增 2 min, 进行 32 个循环; 68 ℃延伸 5 min, 12 ℃保存。PCR 产物经琼脂糖凝胶电泳检测后, 挑取条带大小正确 的目的片段送至生工生物工程(上海)股份有限公

司进行双向测通,以确定转录组数据中 *LoSERK*1 和 *LoSERK*2 基因 cDNA 序列的正确性。

表 1 LoSERKs 基因的引物序列

Table 1 Primer sequence of *LoSERKs* genes

| 引物 | 序 列 |
|------------|--|
| LoSERK1-LP | 5'-CCAAATCGACTCTAGAGCTCCCTTCTACTC AATCCTC -3' |
| LoSERK1-RP | 5'-TCGACCCCGGGCCCCTGCAGAACAAATCA GCGAACCGACAG -3' |
| LoSERK2-LP | 5'-CCAAATCGACTCTAGAGTTATCCTCCTCGC CAGAAAT -3' |
| LoSERK2-RP | 5'-TCGACCCCGGGCCCCTGCAGCTAGTCGTA GCCCTACAAAGAA-3' |

2.4 生物信息学分析

利用 DNAMAN 9.0 对 LoSERK1 和 LoSERK2 基因的 ORF 及其编码氨基酸序列进行分析;利用 NCBI数据库的 BLASTp (https://blast.ncbi.nlm.nih.gov/Blast.cgi)对 LoSERK1和 LoSERK2的同源氨基酸序列进行搜索;利用 BioEdit 7.0 对不同物种 SERKs 氨基酸序列进行多重比对,并利用 MEGA 11.0 的邻接法(neighbor joining)构建系统发育进化树;并用在线软件 NetPhos 3.1 (https://services.healthtech.dtu.dk)预测磷酸化位点,使用纽普生物(https://www.novopro.cn/tools/)对其进行跨膜结构和信号肽的预测;使用 SWISS-MODEL(https://swissmodel.expasy.org/)进行三级结构预测。

2.5 LoSERKs 的定量分析

提取百合的不同组织,即在西伯利亚百合形成花苞时取其未开的花瓣及未成熟的花药,迅速液氮速冻,保存至 -80 °C冰箱中。而后等到花瓣完全展开后 1 d 取其开放的花瓣和成熟的花药并采取叶片,材料液氮速冻后,保存至 -80 °C冰箱中。后文出现两个不同时间节点不同组织则为此两个时间段材料的总 RNA,使用逆转录酶试剂盒进行百合 First-Strand cDNA 的合成,根据 LoSERKs 基因的序列,使用Primer Premier 6.0 软件设计 qRT-PCR 引物,以百合 β -Actin 基因为内参,引物序列见表 2。

表 2 qRT-PCR 分析的引物序列

Table 2 Primer sequences for qRT-PCR analysis

| 引物 | 序 列 |
|-------------------|---------------------------------|
| β-Actin2-F | 5'-CGGTGTCTGGATTGGAGGGTCA-3' |
| β -Actin2-R | 5'-CTTCCTGTGGACGATGGCTGGA-3' |
| qSERK1-F | 5'-GACGGCTTGCGGATGGTACATTAG-3' |
| qSERK1-R | 5'-AAACCCACGAAGACGGAGAAGATTC-3' |
| qSERK2-F | 5'-CTCCATCCGAACCTCCACTTGATTG-3' |
| qSERK2-R | 5'-CAGTGATCGTGCAGGTATGATAGCC-3' |

将 cDNA 母液稀释 10 倍作为 qRT-PCR 反应体系中的模板,采用 qRT-PCR 的技术检测两个 LoSERKs 基因在百合不同组织中的表达量。反应体系为 SYBR Premix Ex Taq II 10.0 μ L,正向引物 1.0 μ L,反向引物 1.0 μ L,反向引物 1.0 μ L,cDNA 5.0 μ L,ddH₂O 补足至 20.0 μ L。该反应程序为: 95 °C下 10 min; 95 °C下 10 s,60 °C下 15 s,72 °C下 20 s,40 个循环后绘制熔解曲线,95 °C下 10 s,65 °C下 60 s,72 °C下 20 s。每个基因做 3 次生物学重复以及技术性重复,添加以无菌水为模板的空白对照,按照 $2^{-\Delta\Delta CT}$ 法计算基因的相对表达量。

3 结果与分析

3.1 LoSERKs 基因克隆及序列分析结果

基于东方百合西伯利亚的转录组测序数据,从中筛选出 2 个体细胞胚发生类受体激酶 SERK 的同源基因。以百合叶片的 cDNA 的第一条链为模板,分别用特异引物对 LoSERK1-LP/LoSERK1-RP和 LoSERK2-LP/LoSERK2-RP 进行 PCR 扩增。获得LoSERK1 和 LoSERK2 基因的 cDNA 序列,PCR 扩增产物用 1% 琼脂糖凝胶电泳检测,结果显示目标扩增条带 LoSERK1 约为 2 200 bp,LoSERK2 约为 2 400 bp,这与预期结果相符(见图 1,其中 M 为 DL5000 DNA Maker)。

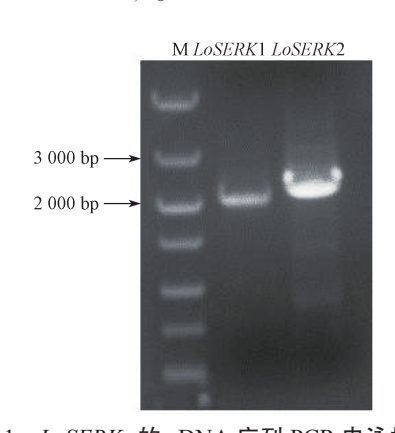


图 1 LoSERKs 的 cDNA 序列 PCR 电泳扩增
Fig. 1 PCR electrophoresis amplification of cDNA sequences
of LoSERKs

测序结果显示, LoSERK1和 LoSERK2基因 cDNA序列与转录组测序结果一致,包含完整 ORF序列,其中 LoSERK1基因 ORF全长为1875 bp与编码624个氨基酸残基(见图2,其中,圆圈为磷酸化位点预测), LoSERK2基因 ORF全长为1887 bp,编码628个氨基酸残基(见图3,其中,圆圈为磷酸化位点预测)。

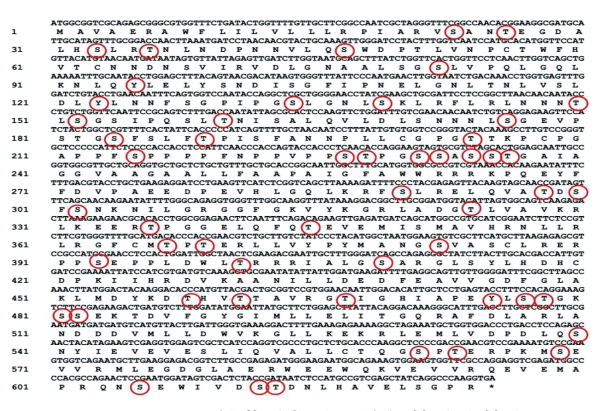


图 2 LoSERK1 核苷酸与编码的氨基酸残基序列 Fig. 2 LoSERK1 nucleotide and encoded amino acid residues sequence

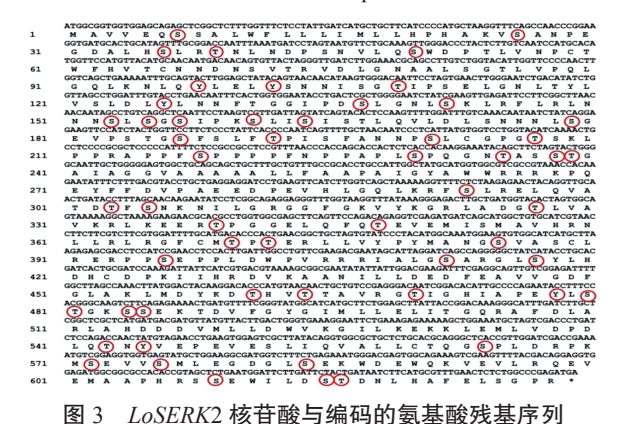
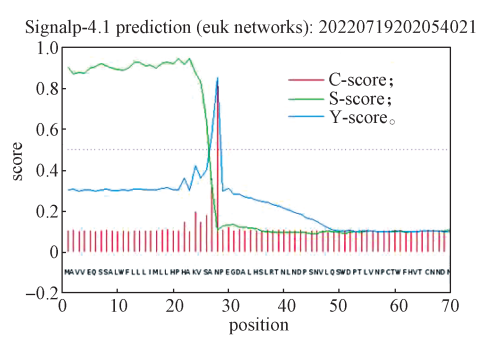


Fig. 3 LoSERK2 似自酸与细胞的氨基酸及基形列 Fig. 3 LoSERK2 nucleotide and encoded amino acid residues sequence

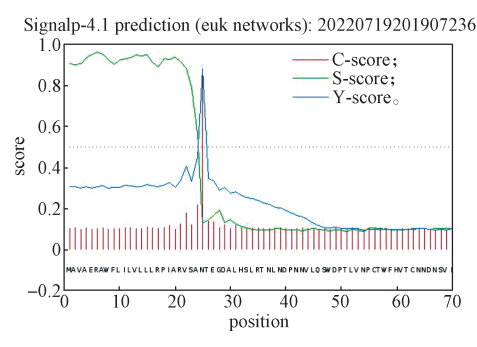
3.2 LoSERKs 信号肽、跨膜结构及三级结构预测

使用 DNAMAM9.0 软件分析, LoSERK1 蛋白 质的相对分子质量为68591.0,平均等电点(PI) 为 5.35, GC 含量为 48.27%; LoSERK2 蛋白质相对 分子质量为 68 933.2, 平均等电点 (PI) 为 5.50, GC含量为47.38%。通过在线软件由图4a和图6知 LoSERK1 有信号肽的概率为: 99.32%, 信号肽类型 为 SP(Sec/SPI); 切割位点: 24~25, 概率为 87.67% 信号肽序列; MAVAERAWFLILVLLLRPIARVSA。 由图 4c 可知, LoSERK1含有一个跨膜区,位点 在 242~262。 由 图 4b 可 知, LoSERK2 有 信 号 肽 的概率为99.82%,信号肽类型为SP(Sec/SPI); 切割位点: 27~28的概率为90.90%。信号肽序列 为 MAVVEQSSALWFLLLIMLLDPLAKVSA, 图 4d 可知, LoSERK2 含有一个跨膜区, 其位点从 239~261。LoSERK1 有 53 个磷酸化位点(图 2), LoSERK2 有 55 个磷酸化位点(图 3)。LoSERK1 和 LoSERK2 三级结构预测如图 5 所示,两者以玉米 SERK 为模板, 使用 SWISS-MODEL 进行预测。发 现其同源相似性高达90%。也同时与氨基酸同源序

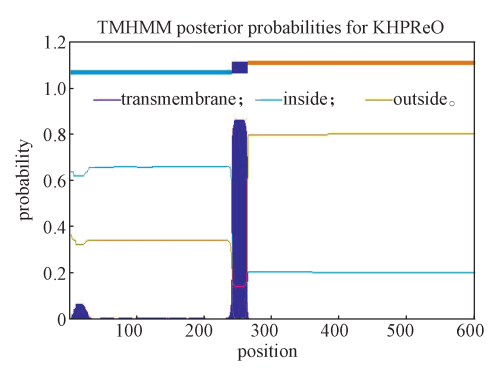
列比对结果相似。表明 SERK 较为稳定,不易突变,保守性高。



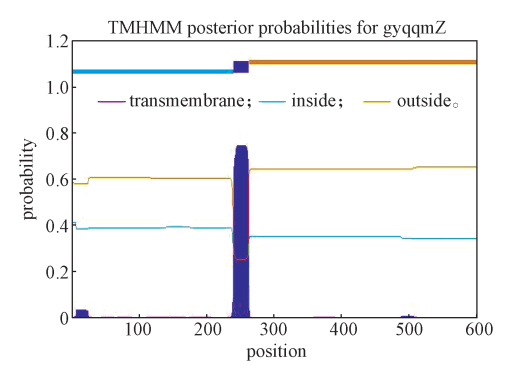
a) LoSERK1 信号肽预测



b) LoSERK2 信号肽预测



c) LoSERK1 跨膜结构预测



d) LoSERK2 跨膜结构预测

图 4 LoSERKs 信号肽及跨膜结构预测结果 Fig. 4 LoSERKs signal peptide and transmembrane structure prediction

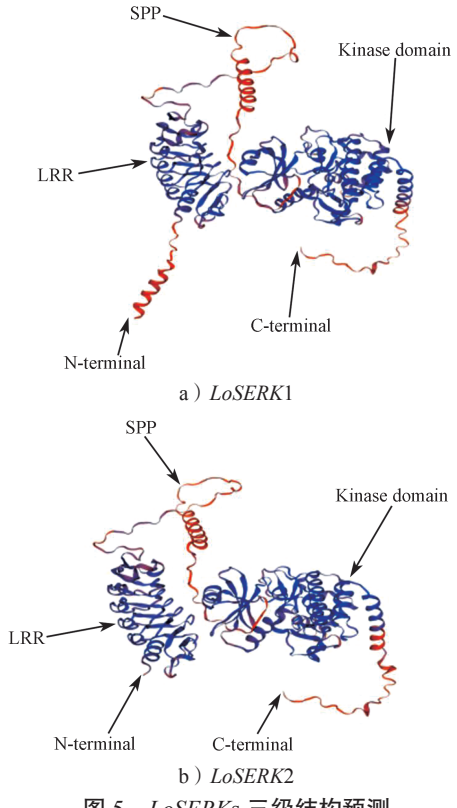


图 5 LoSERKs 三级结构预测

Fig. 5 LoSERKs tertiary structure prediction

3.3 同源性比对分析及系统进化树构建结果

为了研究百合 SERK 的氨基酸序列在进化过程中的保守性及多样性,将 LoSERK1 和 LoSERK2 氨基酸序列与其他植物的 SERKs 氨基酸序列进行比对,包括拟南芥(Arabidopsis thaliana)、水稻(Oryza sativa)、凤梨(Ananas comosus)、油 棕(Elaeis guineensis)、茶 树(Camellia sinensis)、沉 水 樟(Cinnamomum micranthum)、可可树(Theobroma cacao)。结果显示,LoSERK1 和 LoSERK2 的氨基酸序列相似度达到 90.22%,两者与其他种类的SERKs 氨基酸序列的相似性也比较高,与凤梨、油棕等单子叶植物的 SERKs 氨基酸序列相似程度为92.74~93.21%。与双子叶植物茶树等的相似度也高达90%(图 6)。

通过 NCBI (https://www.ncbi.nlm.nih.gov/Structure) 分析发现 LoSERKs 有两个超家族成员,分别为PLN00113 superfamily、PKc_like superfamily(见图6)。其中 PLN00113 superfamily 是富含亮氨酸重复序列区域(LRR),PKc_like superfamily 为激酶结构域。同时基于与拟南芥 AtSERK1~AtSERK5 和水稻 OsSERK1、OsSERK2 进行系统进化树构建,由图 7可知,LoSERK1与 LoSERK2 分别与水稻的 OsSERK1和 OsSERK2 相似性较高。

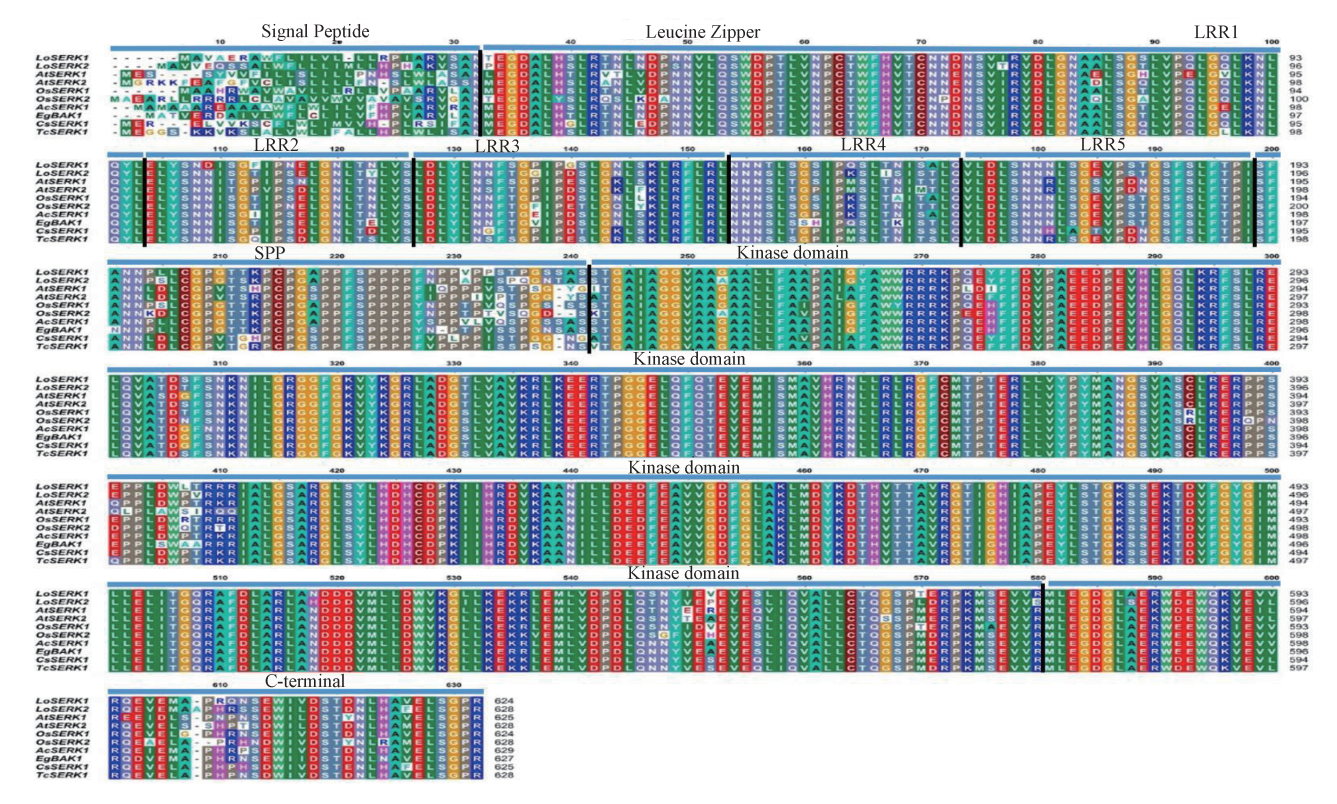


图 6 LoSERKs 与其他植物 SERKs 氨基酸序列多重比对结果

Fig. 6 Multiple alignment results of amino acid sequences between LoSERKs and SERKs of other plants

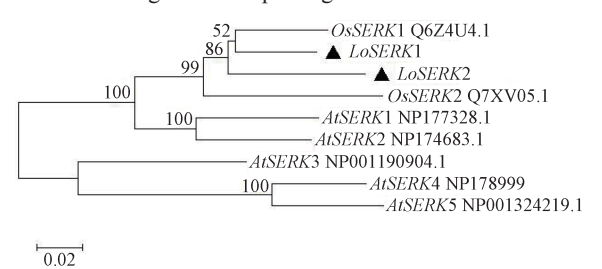
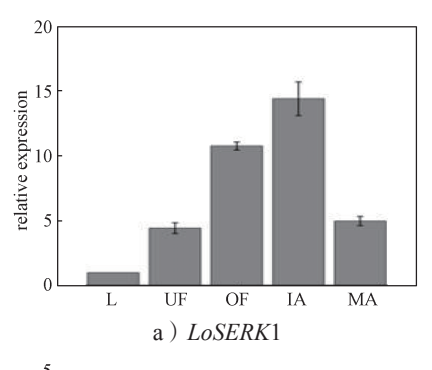


图 7 基于拟南芥、水稻及百合 SERKs 系统发育树的构建 Fig. 7 Construction of SERKs phylogenetic tree based on Arabidopsis thaliana, Oryza sativa and Lilium

3.4 LoSERKs 实时定量 PCR 分析

为了研究百合 SERKs 在花器官中的表达模式,以百合叶片中 LoSERK1、LoSERK2 基因表达量为 1.00, 系统比较两个 LoSERKs 基因在叶子、未开放的花瓣、已开放的花瓣、未成熟的花药、已成熟的花药中的相对表达量。结果发现,两个 LoSERKs 基因在不同器官中的表达量存在差异,LoSERK1 基因(图 8a, 其中, L 为叶片; UF 为未开放的花瓣; OF 为开放的花瓣; IA 为未成熟的花药; MA 为已成熟的花药)在未成熟的花药中的相对表达量最高,为叶片中的 14.39 倍; 其在已开放的花瓣中表达含量也高达 10.76,未开放的花瓣和已成熟的花药中相对表达量,分别为 4.43 和 4.98。LoSERK2 基因(图 8b)在已开放的花瓣中的相对表达量(4.10)显著高于叶(1.00)、

未成熟的花药(0.79)、已成熟的花药(0.44)、未 开放的花瓣(0.40);而 *LoSERK2* 基因在未成熟的 花药与已开的花药中的相对表达量差异只有 0.35;该 基因在未开的花瓣中的相对表达量最低为 0.40。



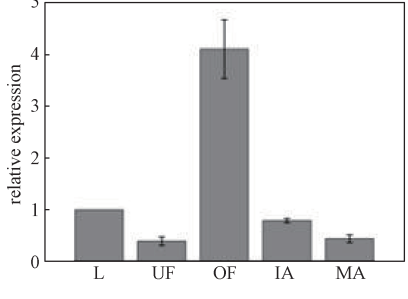


图 8 不同组织中 *LoSERK*s 的相对表达量 Fig. 8 Relative expression levels of *LoSERK*s in different tissues

b) LoSERK2

4 讨论

SERK 是植物特有的膜受体激酶, 其以共受体的 形式和其他膜受体激酶-起形成异源二聚体, 共同感 受外源或内源分子信号,进而激活酶联受体介导的信 号转导途径,例如 MAPK 信号通路。由于与 SERK 互作的受体激酶及信号分子具有的多样性,这决定了 SERK 激酶参与多元化的生物学功能,如激素信号转 导、免疫反应[17]、雄配子体发育[13]、花器官脱落等 多方面的生理功能[19]。SERK 在植物中广泛存在,且 其介导的信号调控模式在不同植物间具有相对保守 性。例如,介导激素 BR (BR-BRI1-SERKs)[14]和病 原菌诱导的免疫响应(flg22-FLS-SERKs)信号模式 被证实存在于拟南芥、水稻和番茄中[11], 而调控花 器官脱落的 "IDA1-HAE/HSL2-SERKs" 信号模式保 守地存在于拟南芥和烟草中[19-20]。通过对模式植物 中 SERK 相关功能的研究,为其他植物中开展 SERK 功能研究提供了重要参考。

本文基于百合转录组测序数据,克隆了2个东 方百合 SERK 同源基因 LoSERK1 和 LoSERK2, 分 别编码 624 和 628 个氨基酸,两者氨基酸序列相似 性非常高, 达 90.22%。LoSERK1 和 LoSERK2 氨基 酸序列与其他植物氨基酸序列相似性很高, 例如与 AtSERK1、AtSERK2、OsSERK1、OsSERK2 的序列相 似性均高于90.28%。同时LoSERK1和LoSERK2氨 基酸序列长度与其他植物中 SERKs 氨基酸长度很接 近,例如拟南芥 AtSERK1 (625)、AtSERK2 (628)、 OsSERK1 (624)、OsSERK2 (628)。通过生物信息 学分析,发现蛋白具有信号肽,且预测到跨膜结构域, 推测这两个蛋白为细胞质膜定位蛋白[21]。在其三级 结构中, LoSERK1 和 LoSERK2 均以玉米 ZmSERK1 为模板进行三级结构预测,其相似程度都为90%以 上。此外, LoSERK1 和 LoSERK2 的氨基酸序列中都 具有 5 个典型的 LRR 结构域和胞内的激酶结构域, 这表明了 SERK 在生物进化过程中的保守性。系统 进化树研究也表明, LoSERK1 和 LoSERK2 与双子叶 拟南芥 AtSERK1 和 AtSERK2 分为一支,与水稻中的 OsSERK1 和 OsSERK2 相似, 这表明单子叶植物中可 能并不存在与双子叶拟南芥 AtSERK3 和 AtSERK4 亲 缘性很近的 SERK。单子叶植物中的 SERK 数量可能 要少于双子叶植物,例如水稻、玉米和百合中发现2 个 SERKs, 而拟南芥有 5 个 [31]、苜蓿有 6 个 [32]、苹 果有 12 个 [3]、大豆有 25 个 [12]。SERK 受体与其他 不同的受体(如 BRI1、EMS1、FLS、HAE)一起感 受不同的细胞外信号分子,进而引起受体胞内激酶结构域的磷酸化及转磷酸化,通过改变受体的激酶活性,从而激活细胞内的信号转导^[9]。在进行百合 LoSERK1 和 LoSERK2 氨基酸序列分析时,也发现了这两个蛋白质的激酶结构域分别有 28 个和 29 个潜在磷酸化位点,这些磷酸化位点可能与胞质激酶活性有关^[22]。

百合观赏性强,但其生产中也面临一些问题,例 如,百合花粉量大且容易污染花瓣及衣物、百合花 瓣过早脱落、百合种植过程中容易染病等,这些都 会影响其产业发展。在拟南芥中 AtTPD1 能够被定位 在绒毡层前体细胞和绒毡层细胞质膜上的受体激酶 AtEMS1 的胞外区所感知,并快速招募 AtSERK1 或 AtSERK2, 进而引起受体间相互磷酸化, 将信号传递 到下游, 最终决定花药绒毡层的命运及雄配子体的 发育^[32], 拟南芥 atserk1、atserk2 双突变会导致雄配 子败育[13]。棉花中 GhSERK1 也被发现能控制花粉发 育, RNAi 干扰 GhSERK1 基因的表达会导致雄性不 育的表型[11]。对不同时期百合花药的表达分析表明, LoSERK1 在未成熟和成熟花药中的相对表达量均高 于叶片中,其中未成熟花药(14倍)和成熟花药(5倍), 而 LoSERK2 在花药中的相对表达量略低于叶片中, 这暗示 LoSERK1 在雄配子体形成过程中的重要性 可能更大。之前研究表明, AtHAE 及其同源基因 AtHSL2 在花器官分离时期的离层区细胞中表达[21-22], AtSERK1~AtSERK4 基因也在花器官离层区细胞中有 表达[24], 分泌型小肽 AtIDA 能被受体激酶 AtHAE 和 AtHSL2 的胞外区感知[27], AtHAE/AtHSL2 和共受体 AtSERKs 形成异源二聚体, 通过磷酸化作用激活下 游 MKK4/MKK5-MPK3/MPK6, 进而通过调控细胞壁 重塑酶基因的表达来调控花器官脱落 [24,27]。拟南芥 AtSERK1~AtSERK4 冗余地参与花器官脱落调控,其 中 AtSERK1 发挥最重要的功能, atserk1、atserk2、 atserk3 或 atserk1、atserk3、atserk4 三重突变体都会 导致花器官不脱落[17]。两个百合 LoSERKs 均在已经 完全开放的花瓣中表达量显著高于未开放花瓣和叶 片,由此推测,LoSERK1和LoSERK2可能会与花器 官脱落有关,但还需要进一步证实。根据系统进化 树的分析结果, 百合与水稻的 SERKs 亲缘性更近, 预示着 LoSERKs 有在免疫反应及激素 BR 响应的功 能。未来,利用基因编辑或者 RNA 沉默的方法将 这两个百合 SERKs 基因进行干扰、敲除或突变,可 能会获得无花粉的百合,或者抗病性改变、花器官 不脱落、植株生长改变等新表型的百合材料。

5 结语

本文基于转录组测序结果,对百合体细胞胚发生类受体激酶同源基因 LoSERK1 和 LoSERK2 进行了克隆,并通过生物信息学预测其功能,实时定量分析其在花器官中的表达情况。结果表明,百合 LoSERK1 和 LoSERK2 分别编码 624 和 628 个氨基酸,且两个百合 SERKs 在进化过程中具有高度的保守性,主要体现为蛋白质胞外 LRR 重复单元和胞内激酶结构域的保守性。百合与水稻的 SERKs 之间亲缘关系很近,暗示百合 SERKs 可能参与激素 BR 和免疫响应。百合 LoSERK1 基因在花药成熟过程的表达量很高,预示 LoSERK1 基因在雄配子形成中发挥功能。LoSERK1 和 LoSERK2 基因在成熟花瓣中的表达量都很高,推测两个 LoSERKs 基因可能参与了花器官的脱落。本研究可为进一步开展百合 SERKs 功能研究及育种应用创造条件。

参考文献:

- [1] SHIU S H, BLEECKER A B. Receptor-Like Kinases from *Arabidopsis* Form a Monophyletic Gene Family Related to Animal Receptor Kinases[J]. Proceedings of the National Academy of Sciences of the United States of America, 2001, 98(19): 10763–10768.
- [2] FAN M, WANG M M, BAI M Y. Diverse Roles of SERK Family Genes in Plant Growth, Development and Defense Response[J]. Science China Life Sciences, 2016, 59(9): 889–896.
- [3] ZHENG L W, MA J J, MAO J P, et al. Genome-Wide Identification of SERK Genes in Apple and Analyses of Their Role in Stress Responses and Growth[J]. BMC Genomics, 2018, 19(1): 1-18.
- [4] 李会强. SERKs 调控拟南芥胚胎维管前体和基本组织 干细胞的分裂 [D]. 兰州: 兰州大学, 2019. LI Huiqiang. SERKs Regulates the Division of Vascular Precursors and Basic Tissue Stem Cells in *Arabidopsis* Embryos[D]. Lanzhou: Lanzhou University, 2019.
- [5] 张福臻,刘方惠,陈鑫欣,等.水稻 OsRPK2 基因的克隆及功能初步鉴定 [J]. 植物研究, 2021, 41(4): 604-613.

 ZHANG Fuzhen, LIU Fanghui, CHEN Xinxin, et al. Cloning and Functional Analysis of Rice Gene OsRPK2[J]. Bulletin of Botanical Research, 2021, 41(4): 604-613.
- [6] 牛 筱. 玉米体细胞胚胎发生相关基因 ZmSERK 的研究 [D]. 长春: 吉林大学, 2014.
 NIU Xiao. Study on ZmSERK, a Gene Related to

- Somatic Embryogenesis in Maize[D]. Changchun: Jilin University, 2014.
- [7] 杨沙沙, 李颖波, 谭何新, 等. 大麦 SERK 基因家族 cDNA 克隆及生物信息学分析 [J]. 上海农业学报, 2016, 32(3): 5-13.

 YANG Shasha, LI Yingbo, TAN Hexin, et al. Cloning and Bioinformatics Analysis of SERK Gene Family in Barley(Hordeum Vulgare L.)[J]. Acta Agriculturae
- [8] SINGH A, KHURANA P. Ectopic Expression of Triticum Aestivum SERK Genes (TaSERKs) Control Plant Growth and Development in Arabidopsis[J]. Scientific Reports, 2017, 7: 12368.

Shanghai, 2016, 32(3): 5-13.

- [9] GHAI D, ALOK A, UPADHYAY S K, et al. Genome Wide Characterization of the SERK/SERL Gene Family in *Phalaenopsis Equestris*, *Dendrobium Catenatum* and *Apostasia Shenzhenica* (Orchidaceae)[J]. Computational Biology and Chemistry, 2020, 85: 107210.
- [10] WU W Z, WU Y J, GAO Y, et al. Somatic Embryogenesis Receptor-Like Kinase 5 in the Ecotype Landsberg Erecta of Arabidopsis is a Functional RD LRR-RLK in Regulating Brassinosteroid Signaling and Cell Death Control[J]. Frontiers in Plant Science, 2015, 6: 852.
- [11] MAXY, XUGY, HEP, et al. SERKing Coreceptors for Receptors[J]. Trends in Plant Science, 2016, 21(12): 1017-1033.
- [12] JIA G X, LIU X D, OWEN H A, et al. Signaling of Cell Fate Determination by the TPD1 Small Protein and EMS1 Receptor Kinase[J]. Proceedings of the National Academy of Sciences of the United States of America, 2008, 105(6): 2220–2225.
- [13] ALBRECHT C, RUSSINOVA E, HECHT V, et al. The *Arabidopsis Thaliana* SOMATIC EMBRYOGENESIS RECEPTOR-LIKE KINASES1 and 2 Control Male Sporogenesis[J]. The Plant Cell, 2005, 17(12): 3337–3340
- [14] WANG X F, KOTA U, HE K, et al. Sequential Transphosphorylation of the BRI1/BAK1 Receptor Kinase Complex Impacts Early Events in Brassinosteroid Signaling[J]. Developmental Cell, 2008, 15(2): 220–235
- [15] GOU X P, YIN H J, HE K, et al. Genetic Evidence for an Indispensable Role of Somatic Embryogenesis Receptor Kinases in Brassinosteroid Signaling[J]. PLoS Genetics, 2012, 8(1): e1002452.
- [16] LU D P, WU S J, GAO X Q, et al. A Receptor-Like Cytoplasmic Kinase, BIK1, Associates with a Flagellin Receptor Complex to Initiate Plant Innate Immunity[J]. Proceedings of the National Academy of Sciences of the United States of America, 2010, 107(1): 496–501.

- [17] SHI H, SHEN Q J, QI Y P, et al. BR-SIGNALING KINASE1 Physically Associates with FLAGELLIN SENSING2 and Regulates Plant Innate Immunity in *Arabidopsis*[J]. The Plant Cell, 2013, 25(3): 1143–1157.
- [18] HE K, GOU X P, YUAN T, et al. BAK1 and BKK1 Regulate Brassinosteroid-Dependent Growth and Brassinosteroid-Independent Cell-Death Pathways[J]. Current Biology, 2007, 17(13): 1109-1115.
- [19] MENG X Z, ZHOU J G, TANG J, et al. Ligand-Induced Receptor-Like Kinase Complex Regulates Floral Organ Abscission in *Arabidopsis*[J]. Cell Reports, 2016, 14(6): 1330-1338.
- [20] MENG X Z, CHEN X, MANG H, et al. Differential Function of *Arabidopsis SERK* Family Receptor-Like Kinases in Stomatal Patterning[J]. Current Biology, 2015, 25(18): 2361–2372.
- [21] KIM T W, MICHNIEWICZ M, BERGMANN D C, et al. Brassinosteroid Regulates Stomatal Development by GSK3-Mediated Inhibition of a MAPK Pathway[J]. Nature, 2012, 482; 419–422.
- [22] DU J B, YIN H J, ZHANG S S, et al. Somatic Embryogenesis Receptor Kinases Control Root Development Mainly via Brassinosteroid-Independent Actions in *Arabidopsis Thaliana*[J]. Journal of Integrative Plant Biology, 2012, 54(6): 388–399.
- [23] CHEN X W, ZUO S M, SCHWESSINGER B, et al. An XA21-Associated Kinase (*OsSERK2*) Regulates Immunity Mediated by the XA21 and XA3 Immune Receptors[J]. Molecular Plant, 2014, 7(5): 874-892.
- [24] LI D, WANG L, WANG M, et al. Engineering *OsBAK1* Gene as a Molecular Tool to Improve Rice Architecture for High Yield[J]. Plant Biotechnology Journal, 2009, 7(8): 791–806.
- [25] PARK H S, RYU H Y, KIM B H, et al. A Subset of *OsSERK* Genes, Including *OsBAK*1, Affects Normal Growth and Leaf Development of Rice[J]. Molecules and Cells, 2011, 32(6): 561–569.
- [26] CHAPARRO-GARCIA A, WILKINSON R C,

- GIMENEZ-IBANEZ S, et al. The Receptor-Like Kinase SERK3/BAK1 is Required for Basal Resistance Against the Late Blight Pathogen *Phytophthora Infestans in Nicotiana Benthamiana*[J]. PLoS One, 2011, 6(1): e16608.
- [27] DU J, VERZAUX E, CHAPARRO-GARCIA A, et al. Elicitin Recognition Confers Enhanced Resistance to *Phytophthora Infestans* in Potato[J]. Nature Plants, 2015, 1: 15034.
- [28] HOLTON N, NEKRASOV V, RONALD P C, et al. The Phylogenetically-Related Pattern Recognition Receptors EFR and XA21 Recruit Similar Immune Signaling Components in Monocots and Dicots[J]. PLoS Pathogens, 2015, 11(1): e1004602.
- [29] LACOMBE S, ROUGON-CARDOSO A, SHERWOOD E, et al. Interfamily Transfer of a Plant Pattern-Recognition Receptor Confers Broad-Spectrum Bacterial Resistance[J]. Nature Biotechnology, 2010, 28(4): 365–369.
- [30] GONG B H, YI J, WU J, et al. LIHSFA1, a Novel Heat Stress Transcription Factor in Lily (*Lilium Longiflorum*), can Interact with LIHSFA2 and Enhance the Thermotolerance of Transgenic *Arabidopsis Thaliana*[J]. Plant Cell Reports, 2014, 33(9): 1519–1533.
- [31] 何福林,刘 询,张 斌.大豆 SERK 基因家族生物信息学及盐胁迫下的表达分析 [J]. 西北农业学报, 2019, 28(10): 1708-1717.

 HE Fulin, LIU Xun, ZHANG Bin. Bioinformatics Identification of SERK Genes and Expression Analysis Under Salt Stress in Soybean[J]. Acta Agriculturae Boreali-Occidentalis Sinica, 2019, 28(10): 1708-1717.
- [32] GAO X Q, LI F J, LI M Y, et al. Cotton GhBAK1 Mediates *Verticillium* Wilt Resistance and Cell Death[J]. Journal of Integrative Plant Biology, 2013, 55(7): 586–596.

(责任编辑:申 剑)